

京都大学大学院 学生員 萩野 茂
京都大学工学部 正員 家村浩和

京都大学工学部 正員 山田善一

1. 本研究の概要

従来、耐震設計においては、震度法、修正震度法が用いられ、また動的耐震設計法として、応答スペクトルを用いた方法等があつた。しかしながら構造物の地震被害を検討する時、その最大応答だけでは不十分な場合があつたとえば、応答変位が構造物の降伏変位を超えるような地震入力を長時間にわたって受けける場合、構造物の塑性疲労が重要となる。すなはち最大応答が小さくても、繰り返し回数が多くなければ、構造物は大きな損傷を受けるものと考えられる。これらのことから本研究では、構造物に入力されるエネルギー値というものに注目し、地震動の持つエネルギーがどのようにして消費吸収されるのかを入力エネルギースペクトルといふ概念を導入することにより考察した。

2. 多自由度弹性系における地震入力エネルギーの評価法

多自由度振動系における振動方程式は次式のようになる。

$$M \cdot \ddot{u} + C \cdot \dot{u} + K \cdot u = -M\{\ddot{x}\} \quad (1)$$

ここに、 M : 質量マトリックス, C : 減衰マトリックス, K : 刚性マトリックス

u , \dot{u} , \ddot{u} : 応答変位, 速度, 加速度, \ddot{x} : 地震加速度

さらに(1)式の両辺に $d\dot{u} = \dot{u} dt$ をかけ、地震継続時間($0 \sim t$)について積分すると次式のようになる。

$$\begin{bmatrix} \int_0^t m_i u_i \dot{u}_i dt \\ \vdots \\ \int_0^t m_n u_n \dot{u}_n dt \end{bmatrix} + \begin{bmatrix} \int_0^t (\sum_{j=1}^n C_{ij} u_j) \dot{u}_i dt \\ \vdots \\ \int_0^t (\sum_{j=1}^n C_{nj} u_j) \dot{u}_n dt \end{bmatrix} + \begin{bmatrix} \int_0^t (\sum_{j=1}^n k_{ij} u_j) \dot{u}_i dt \\ \vdots \\ \int_0^t (\sum_{j=1}^n k_{nj} u_j) \dot{u}_n dt \end{bmatrix} = \begin{bmatrix} -\int_0^t m_i \ddot{x}_i dt \\ \vdots \\ -\int_0^t m_n \ddot{x}_n dt \end{bmatrix} \quad (2)$$

上式の左辺第1項は時刻 t における運動エネルギー W_k , 第2項は時刻 t までに粘性減衰機構によって吸収されるエネルギー W_d , 第3項は時刻 t における弾性ひずみエネルギー W_e を表している。(弾性系では W_e に加え、時刻 t までに塑性変形によって吸収される累積履歴エネルギー W_h を表している。) また右辺は時刻 t までに構造物に入力される総入力エネルギー E である。

今 n 個の質点について n 個の振動形を考えられる。これらの各質点に対しての重ね合せる割合を第*i*質点について ϕ_{is} (第*S*次モードについて)で表わすとその変位及び速度は次式のようになる。

$$u_{is} = \sum_{s=1}^n \phi_{is} \cdot y_s, \quad \dot{u}_{is} = \sum_{s=1}^n \phi_{is} \cdot \dot{y}_s \quad (\text{ここで } Y_s (s=1, 2, \dots, n): \text{第 } S \text{ 次の基準座標}) \quad (3)$$

これらより、(3)式を(2)式に代入すると右辺は $-m_i \sum_{s=1}^n \phi_{is} \int_0^t \ddot{y}_s dt$ となり、このうち $-m_i \int_0^t \ddot{y}_s dt$ は y_s に対する固有周期 T_s と減衰定数 h_s から求められる入力エネルギーである。これを E_s とすると(2)式右辺は第*i*質点については $m_i \sum_{s=1}^n \phi_{is} E_s$ となり、これは第*i*質点に対する総入力エネルギー E_i を表している。これらより系全体への総入力エネルギー E は次式で表わされる。

$$E = \sum_{i=1}^n E_i = \sum_{i=1}^n (m_i \sum_{s=1}^n \phi_{is} E_s) \quad (4)$$

すなはち E_s が求まれば E は容易に求められることになる。

ところで E_s は T_s , h_s が与えられるとその対応する一質点系のエネルギースペクトルより決定できるものである。

以上より一質点系のエネルギースペクトルさえ求められ

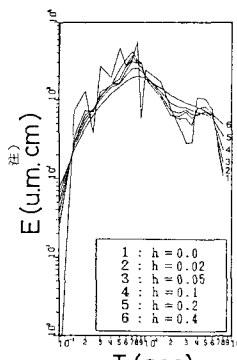


Fig. 1 Energy Spectra

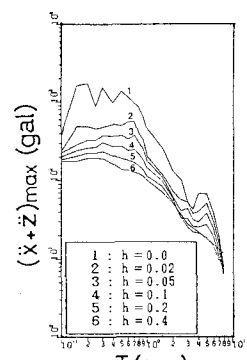


Fig. 2 Response Spectra

ば多自由度系全体への全入力エネルギーが求められることになる。Fig. 1にTaft記録(1952年7月21日Kern Country地震最大加速度152.7gal 継続時間56秒)による一質点弹性系の入力エネルギースペクトル図を、Fig. 2に絶対加速度応答スペクトル図を示した。そしてFig. 3には入力エネルギーを、 $E_a = \omega_0 / \sqrt{2E/M}$ ω_0 :固有振動数によって加速度に変換した値と絶対最大応答速度との相関図を減衰定数 $h=0.0$ と0.2について示した。なお各スペクトル図については固有周期 $T=0.1, 0.15, 0.2, 0.25, 0.3, 0.4, 0.5, 0.6, 0.7, 0.8, 0.9, 1.0, 1.5, 2.0, 2.5, 3.0, 3.5, 4.0, 5.0, 6.0, 7.0, 8.0(\text{sec})$ についてプロットした。

これらの図から(i)減衰が大きくなるほどエネルギースペクトルにおいて周期によより変動が小さくなり、(ii)減衰定数の差異によろ入力エネルギーの絶対値の変動は小さい、(iii)入力エネルギー値と最大応答値との相関は減衰が大きくなるほどエネルギー側に傾く、ことがわかる。これを時刻歴から見るために、Fig. 4に $h=0.05$ 、固有周期 $T=1.0(\text{sec})$ に対する入力エネルギー量の変化を時刻歴によって示した。この図からわかるようにある程度時刻が経過すると応答に寄与するエネルギー W_k, W_E, W_c が、 W_c に対して非常に小さくなる。そしてこれはいかだきくなる程顕著に現れるため先の(i)のようになると考えられる。また(iv)に関しては、減衰が大きくなり、 W_c が大きくなつても逆に W_E, W_k が小さくなるためその相殺効果により、 E の変動が小さくなると考えられる。(v)に関しては、いかだきくなる程最大応答値がかなり小さくなつていうためだと考えられる。

3. 弹性系における地震入力エネルギースペクトル

さらに復元力特性にBilinearを用いた弾塑性系について考察した。弾塑性繊維率 $P_n=0.8$ 、降伏変位 $X_y=0.4(\text{cm})$ の時の入力エネルギースペクトル図、最大塑性率 μ_{\max} のスペクトル図、入力エネルギーを $E_d = \sqrt{\omega_0 X_y} \times \sqrt{2E/M}$ によって変位に変換した値と μ_{\max} との相関図をそれぞれFig. 5~7に示した。Fig. 5から弾性系に比べて特に h が小のとき T による変動が小さいこと、またFig. 7より h が大きい程相関はエネルギー側に傾いていることがわかる。

またFig. 8に弾塑性系での時刻によろエネルギー蓄積図を示す。これより、弾性系への W_H が加わり、 W_k, W_E, W_c がかなり小さくなっていることがわかる。

4. 耐震設計への応用

近年、耐震設計において、非弾性領域におけるエネルギー吸収能を有効に利用するという考え方が用いられてゐる。そして構造物へエネルギー吸収量は劣化振動系の損傷度の指標でもある。このことから今後、耐震設計を入力エネルギーという観点からとらえることが重要となってくると考えられる。

参考文献 枝山宏：構造物の極限耐震設計、東京大学出版会、昭和55.9

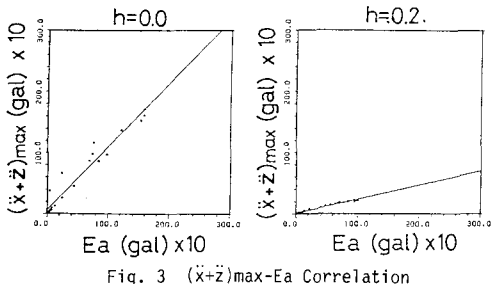


Fig. 3 $(x+z)_{\max} - Ea$ Correlation

$T=1.0(\text{sec}) h=0.05$

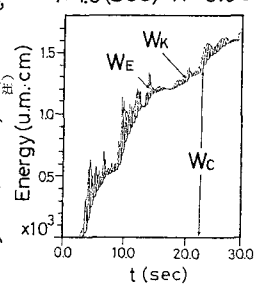


Fig. 4 Accumulated Energy

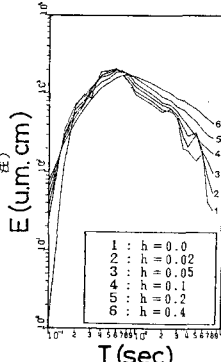


Fig. 5 Energy Spectra
 $h=0.0$

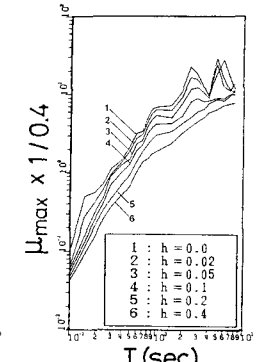


Fig. 6 μ_{\max} Spectra

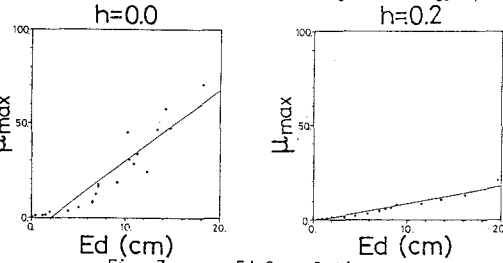
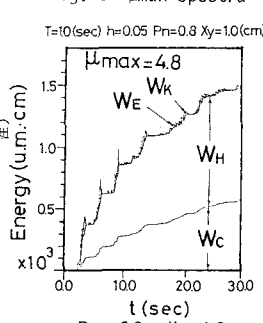


Fig. 7 μ_{\max} -Ed Correlation



注) : $u.m.=\text{unit mass}$